

复合沟道 MOSFET

ELM4C2901FBA-S

<https://www.elm-tech.com>

■概要

ELM4C2901FBA-S 是低输入电容、低工作电压、低导通电阻的大电流 MOSFET。同时内藏有 N 沟道和 P 沟道的复合产品。

■特点

- | | |
|------------------------------|-------------------------------|
| N 沟道 | P 沟道 |
| • Vds=20V | • Vds=-20V |
| • Id=3.8A(Vgs=4.5V) | • Id=-2.5A(Vgs=-4.5V) |
| • Rds(on) = 50mΩ (Vgs=4.5V) | • Rds(on) = 70mΩ (Vgs=-4.5V) |
| • Rds(on) = 75mΩ (Vgs=2.5V) | • Rds(on) = 95mΩ (Vgs=-2.5V) |
| • Rds(on) = 100mΩ (Vgs=1.8V) | • Rds(on) = 115mΩ (Vgs=-1.8V) |

■绝对最大额定值

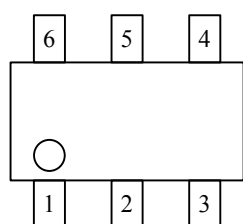
项目	记号	N 沟道 (最大值)	P 沟道 (最大值)	单位	备注	
漏极 - 源极电压	Vds	20	-20	V		
栅极 - 源极电压	Vgs	± 12	± 12	V		
漏极电流 (定常) (Vgs=4.5V)	Id	Ta=25°C	3.8	-2.5	A	1
		Ta=70°C	3.0	-2.0		
漏极电流 (脉冲)	Idm	15	-15	A	2	
容许功耗	Pd	1.1	1.1	W	3	
保存温度范围	Tstg	-55 ~ 150	-55 ~ 150	°C		
结合部温度范围	Tj	-55 ~ 150	-55 ~ 150	°C		

■热特性

项目	记号	典型值	最大值	单位	备注
结合部 - 环境热阻	Rθja	-	110	°C/W	1
结合部 - 封装热阻	Rθjc	-	70	°C/W	1

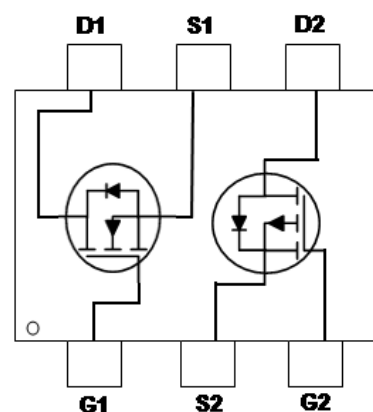
■引脚配置图

TSOP-6(俯视图)



引脚编号	引脚名称
1	GATE1
2	SOURCE2
3	GATE2
4	DRAIN2
5	SOURCE1
6	DRAIN1

■电路图



复合沟道 MOSFET

ELM4C2901FBA-S

<https://www.elm-tech.com>

■电特性 (N 沟道)

如没有特别注明时, $T_j=25^\circ\text{C}$

项目	记号	条件	最小值	典型值	最大值	单位	备注	
静态特性								
漏极 - 源极击穿电压	BV _{dss}	V _{gs} =0V, I _d =250 μ A	20	-	-	V		
漏极 - 源极导通电阻	R _{ds(on)}	V _{gs} =4.5V, I _d =4A	-	-	50	m Ω	2	
		V _{gs} =2.5V, I _d =3A	-	-	75			
		V _{gs} =1.8V, I _d =2A	-	-	100			
栅极阈值电压	V _{gs(th)}	V _{gs} =V _{ds} , I _d =250 μ A	0.35	-	1.00	V		
漏极 - 源极间漏电流	I _{dss}	V _{ds} =16V, V _{gs} =0V	-	-	1	μ A		
		V _{ds} =16V, V _{gs} =0V, T _j =55 $^\circ\text{C}$	-	-	5			
栅极 - 源极间漏电流	I _{gss}	V _{gs} = \pm 12V, V _{ds} =0V	-	-	\pm 100	nA		
正向跨导	G _{fs}	V _{ds} =5V, I _d =4A	-	30	-	S		
连续供电电流	I _s	V _{gs} =V _{ds} =0V, Force current	-	-	1.5	A	1, 4	
二极管正向压降	V _{sd}	V _{gs} =0V, I _s =1A	-	-	1.2	V	2	
动态特性								
输入电容	C _{iss}	V _{ds} =15V, V _{gs} =0V, f=1MHz	-	670	-	pF		
输出电容	C _{oss}		-	75	-	pF		
反馈电容	C _{rss}		-	68	-	pF		
开关特性								
总栅极电荷 (4.5)	Q _g	V _{ds} =15V, V _{gs} =4.5V, I _d =4A	-	8.60	-	nC		
栅极 - 源极电荷	Q _{gs}		-	1.37	-	nC		
栅极 - 漏极电荷	Q _{gd}		-	2.30	-	nC		
导通延迟时间	t _{d(on)}	V _{ds} =10V, V _{gs} =4.5V R _{gen} =3.3 Ω , I _d =4A	-	5.2	-	ns		
导通上升时间	t _r		-	34.0	-	ns		
关闭延迟时间	t _{d(off)}		-	23.0	-	ns		
关闭下降时间	t _f		-	9.2	-	ns		
寄生二极管反向恢复时间	t _{rr}		I _f =4A, di/dt=100A/ μ s	-	8.9	-	nS	
寄生二极管反向恢复电荷	Q _{rr}			-	1.7	-	nC	

备注:

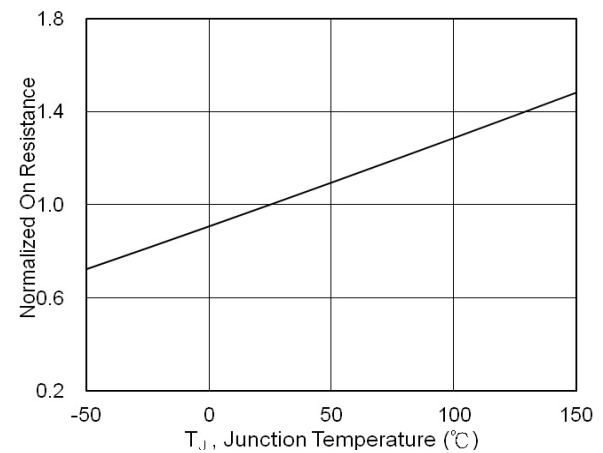
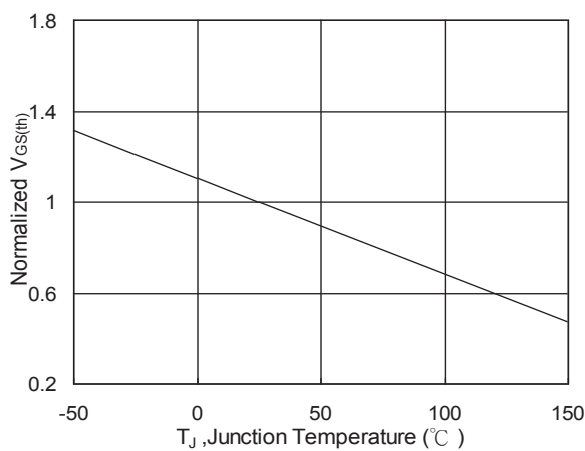
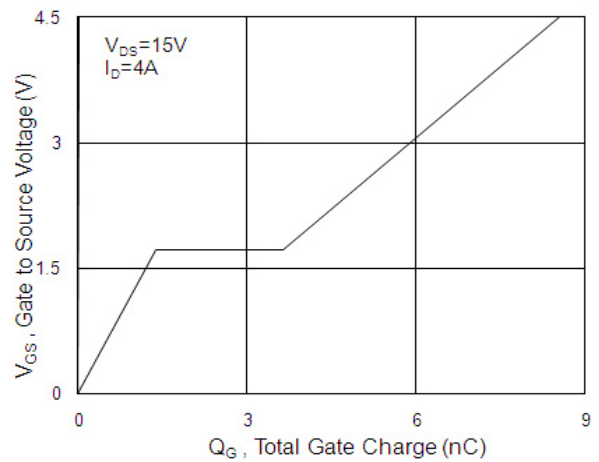
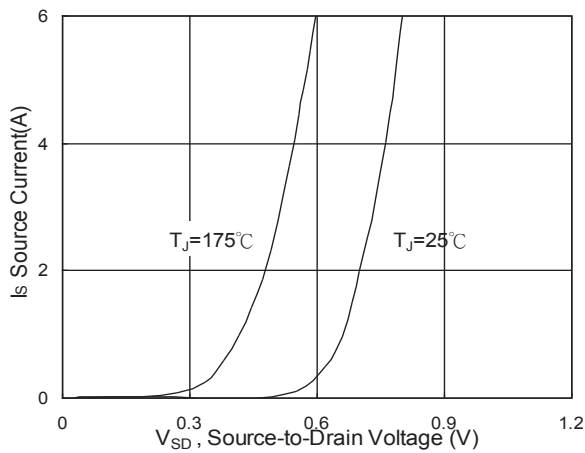
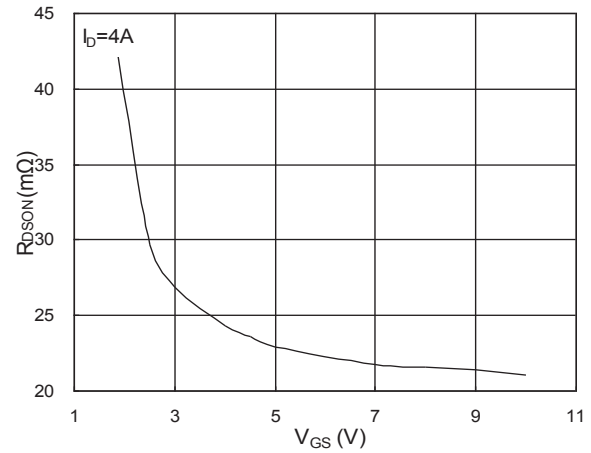
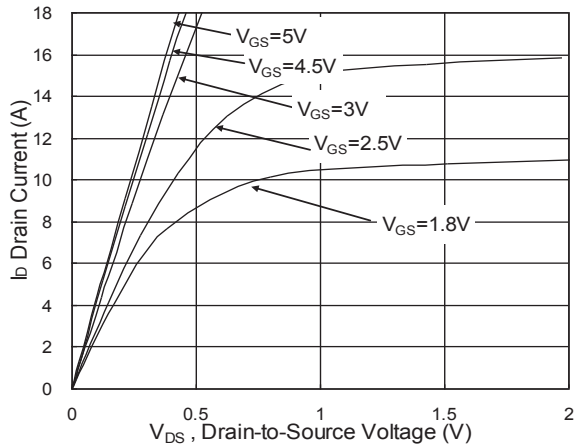
1. 测试数据是由安装在平面为1平方英寸FR-4、铜箔厚为70 μ m上取得的;
2. 脉冲测试数据: 脉冲宽度 \leq 300 μ 秒, 占空比 \leq 2%;
3. 容许功耗受150 $^\circ\text{C}$ 结合部温度限制;
4. 该数据在理论上与 I_d、I_{dm} 一样, 在实际应用上会受到总功耗的限制。

复合沟道 MOSFET

ELM4C2901FBA-S

<https://www.elm-tech.com>

■标准特性曲线 (N 沟道)



复合沟道 MOSFET

ELM4C2901FBA-S

<https://www.elm-tech.com>

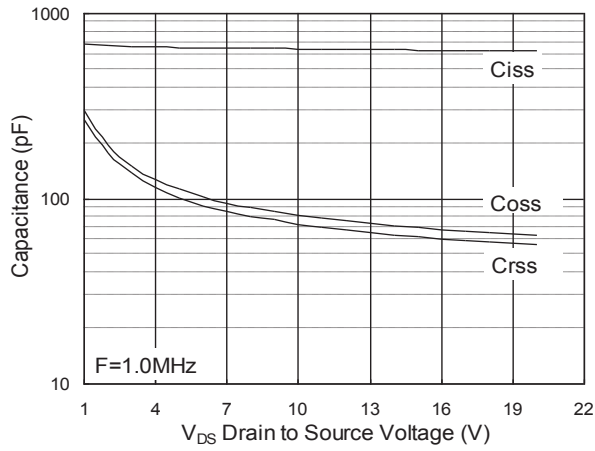


Fig.7 Capacitance

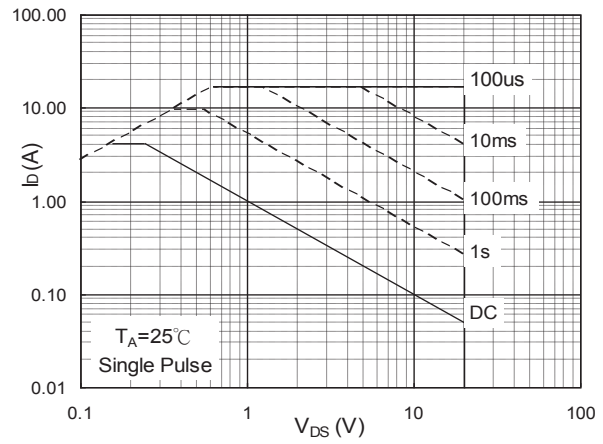


Fig.8 Safe Operating Area

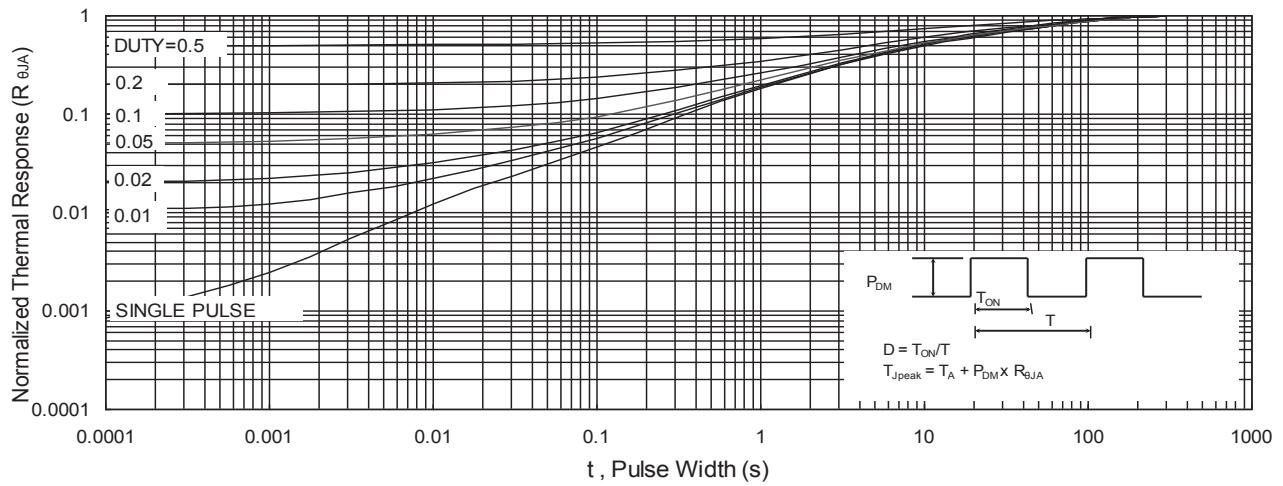


Fig.9 Normalized Maximum Transient Thermal Impedance

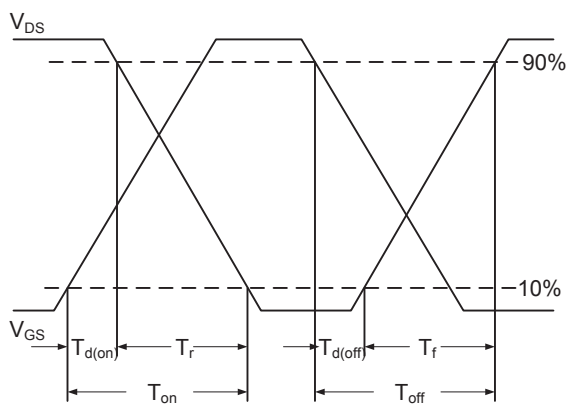


Fig.10 Switching Time Waveform

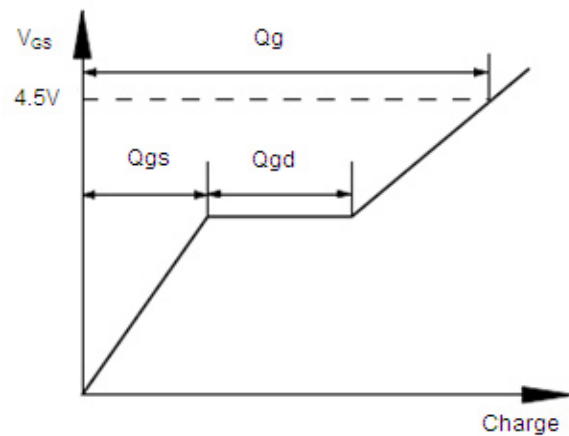


Fig.11 Gate Charge Waveform

复合沟道 MOSFET

ELM4C2901FBA-S

<https://www.elm-tech.com>

■电特性 (P 沟道)

如没有特别注明时, $T_j=25^\circ\text{C}$

项目	记号	条件	最小值	典型值	最大值	单位	备注	
静态特性								
漏极 - 源极击穿电压	BV _{dss}	V _{gs} =0V, I _d =-250 μ A	-20	-	-	V		
漏极 - 源极导通电阻	R _{ds(on)}	V _{gs} =-4.5V, I _d =-2.5A	-	-	70	m Ω	2	
		V _{gs} =-2.5V, I _d =-2.0A	-	-	95			
		V _{gs} =-1.8V, I _d =-1.0A	-	-	115			
栅极阈值电压	V _{gs(th)}	V _{gs} =V _{ds} , I _d =-250 μ A	-0.4	-	-1.0	V		
漏极 - 源极间漏电流	I _{dss}	V _{ds} =-16V, V _{gs} =0V	-	-	-1	μ A		
		V _{ds} =-16V, V _{gs} =0V, T _j =55 $^\circ\text{C}$	-	-	-5			
栅极 - 源极间漏电流	I _{gss}	V _{gs} = \pm 12V, V _{ds} =0V	-	-	\pm 100	nA		
正向跨导	G _{fs}	V _{ds} =-5V, I _d =-3A	-	9	-	S		
连续供电电流	I _s	V _{gs} =V _{ds} =0V, Force current	-	-	-1.5	A	1, 4	
二极管正向压降	V _{sd}	V _{gs} =0V, I _s =-1A	-	-	-1.2	V	2	
动态特性								
输入电容	C _{iss}	V _{ds} =-15V, V _{gs} =0V, f=1MHz	-	686.0	-	pF		
输出电容	C _{oss}		-	90.8	-	pF		
反馈电容	C _{rss}		-	80.4	-	pF		
开关特性								
总栅极电荷 (-4.5)	Q _g	V _{ds} =-15V, V _{gs} =-4.5V I _d =-3A	-	9.70	-	nC		
栅极 - 源极电荷	Q _{gs}		-	2.05	-	nC		
栅极 - 漏极电荷	Q _{gd}		-	2.43	-	nC		
导通延迟时间	t _{d(on)}	V _{ds} =-10V, V _{gs} =-4.5V R _{gen} =3.3 Ω , I _d =-3A	-	4.8	-	ns		
导通上升时间	t _r		-	9.6	-	ns		
关闭延迟时间	t _{d(off)}		-	52.0	-	ns		
关闭下降时间	t _f		-	8.4	-	ns		
寄生二极管反向恢复时间	t _{rr}		I _f =-3A, di/dt=100A/ μ s	-	10.2	-	nS	
寄生二极管反向恢复电荷	Q _{rr}			-	2.5	-	nC	

备注:

1. 测试数据是由安装在平面为1平方英寸FR-4、铜箔厚为70 μ m上取得的;
2. 脉冲测试数据: 脉冲宽度 \leq 300 μ 秒, 占空比 \leq 2%;
3. 容许功耗受150 $^\circ\text{C}$ 结合部温度限制;
4. 该数据在理论上与 I_d、I_{dm} 一样, 在实际应用上会受到总功耗的限制。

复合沟道 MOSFET

ELM4C2901FBA-S

<https://www.elm-tech.com>

■标准特性曲线 (P 沟道)

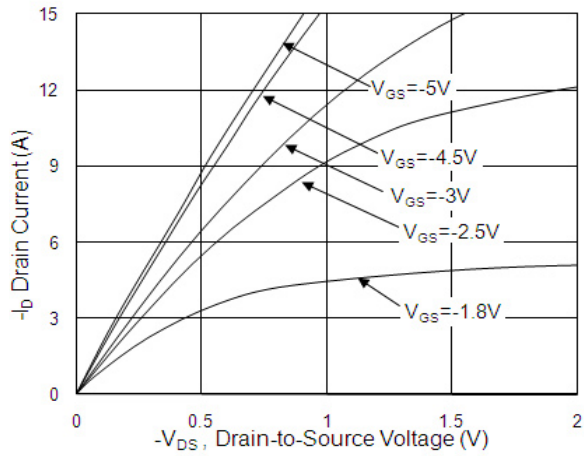


Fig.1 Typical Output Characteristics

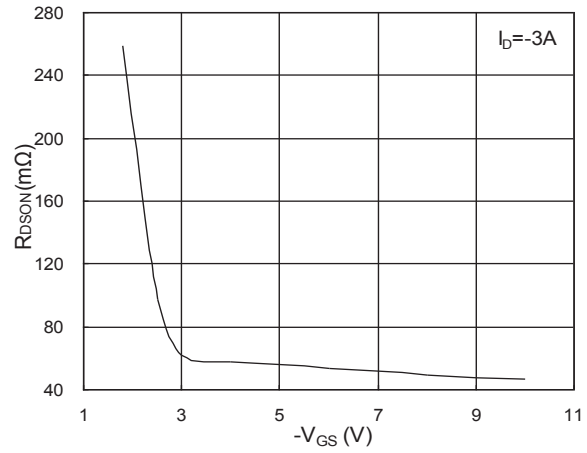


Fig.2 On-Resistance vs. G-S Voltage

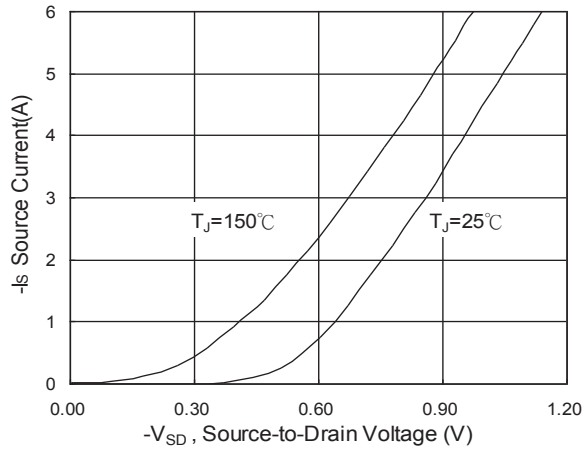


Fig.3 Source Drain Forward Characteristics

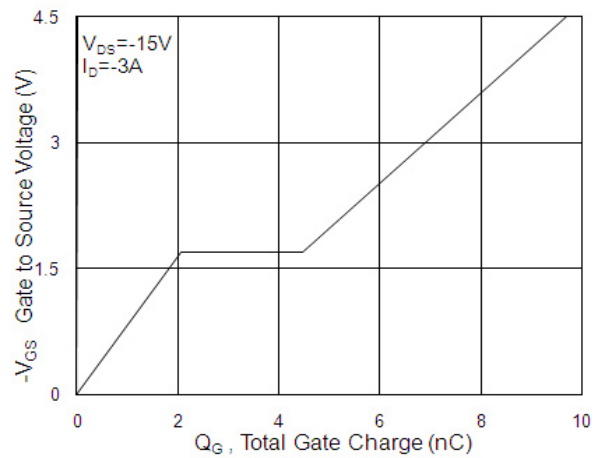


Fig.4 Gate-Charge Characteristics

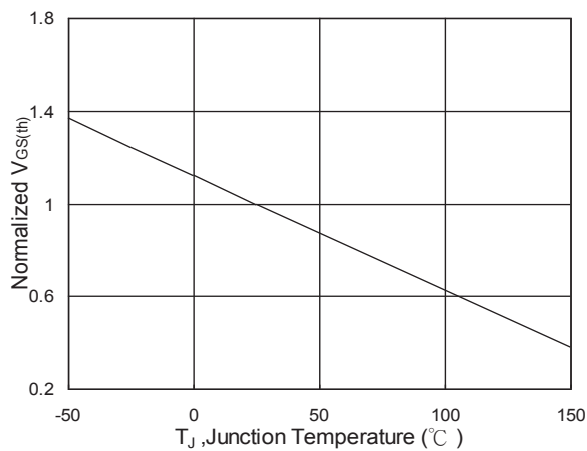


Fig.5 Normalized $V_{GS(th)}$ vs. T_J

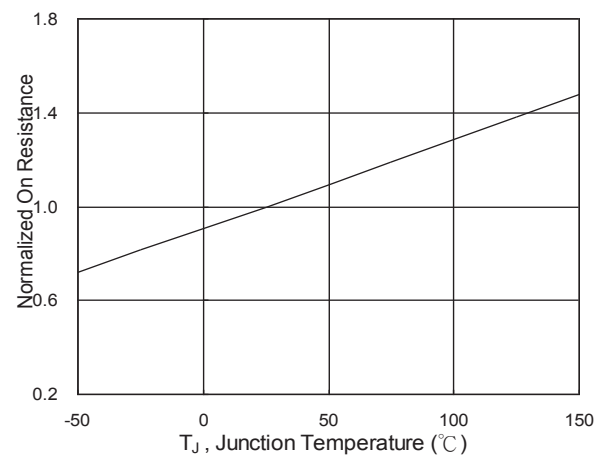


Fig.6 Normalized $R_{DS(on)}$ vs. T_J

复合沟道 MOSFET

ELM4C2901FBA-S

<https://www.elm-tech.com>

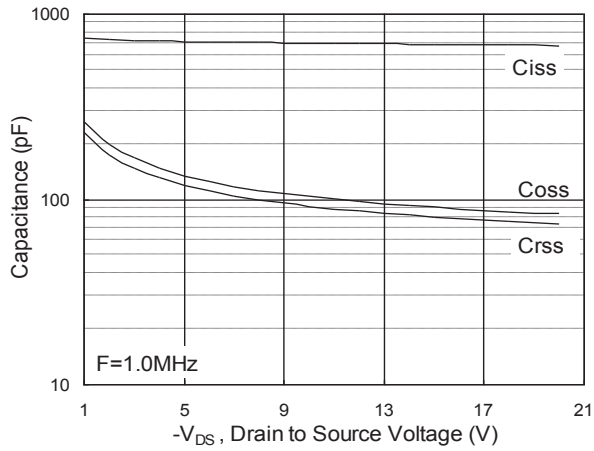


Fig.7 Capacitance

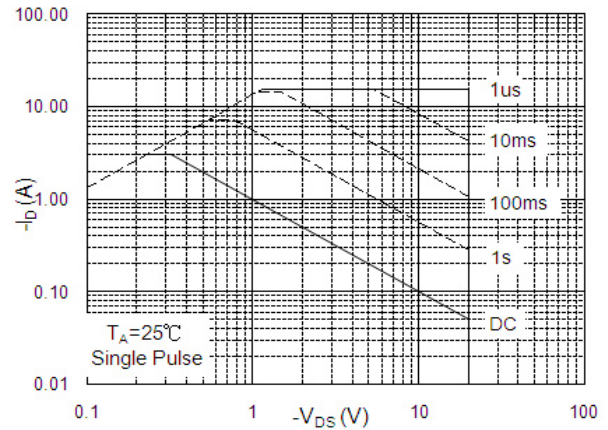


Fig.8 Safe Operating Area

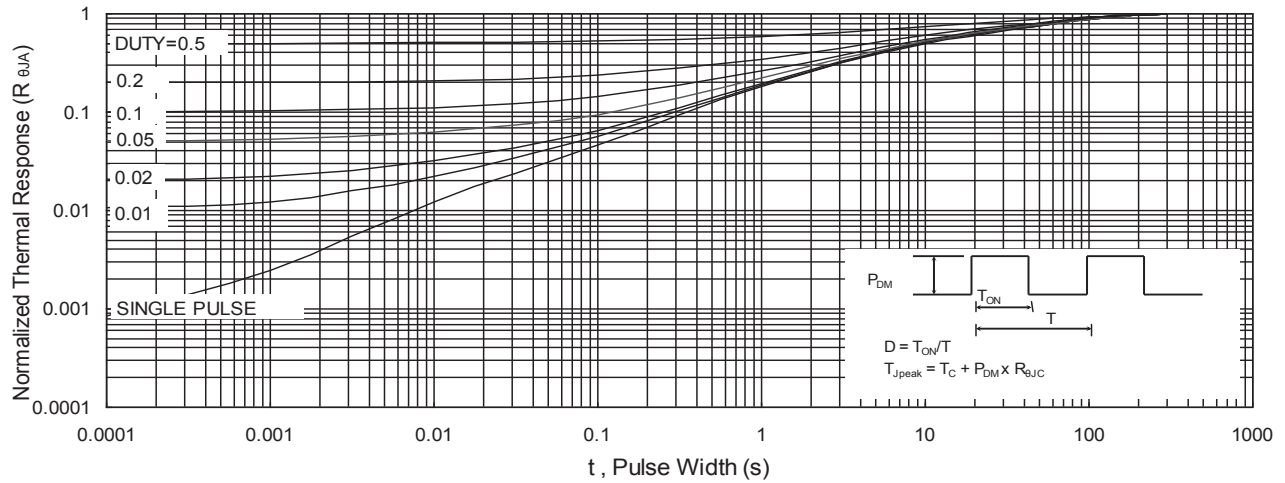


Fig.9 Normalized Maximum Transient Thermal Impedance

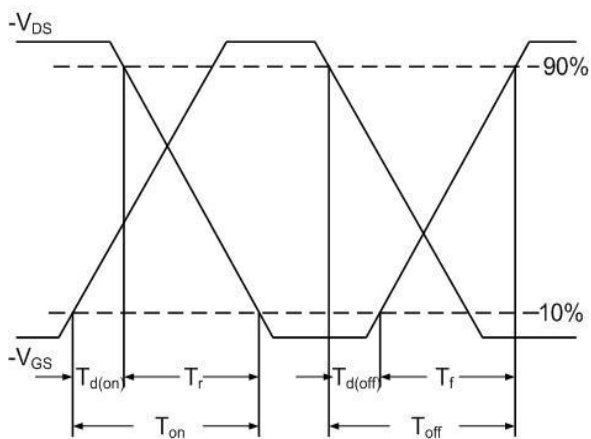


Fig.10 Switching Time Waveform

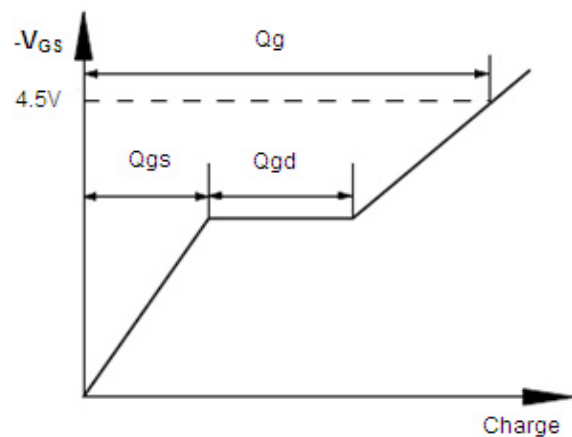


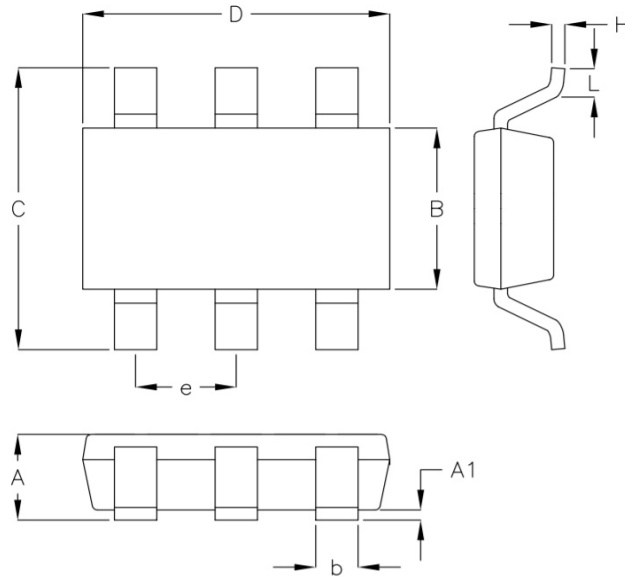
Fig.11 Gate Charge Waveform

复合沟道 MOSFET

ELM4C2901FBA-S

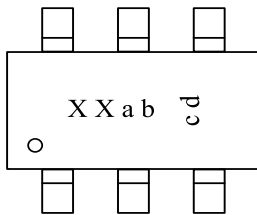
<https://www.elm-tech.com>

■TSOP-6 外形尺寸 (3,000 颗 / 卷)



记号	Millimeters		Inches	
	Min.	Max.	Min.	Max.
A	0.70	0.90	0.028	0.035
A1	0.00	0.10	0.000	0.004
B	1.50	1.70	0.059	0.067
b	0.35	0.50	0.014	0.020
C	2.60	3.00	0.102	0.119
D	2.80	3.02	0.110	0.119
e	0.90	1.00	0.035	0.039
H	0.08	0.20	0.003	0.008
L	0.30	0.60	0.012	0.024

■封装印字说明



记号	表示内容
XX	产品型号代码
a	年份代码: 2019=9, 2020=A, 2021=B, 2022=C ...
b	週代码: A ~ Z, a ~ z 计 53 週
c	批号: 1 ~ 9 或 A ~ Z
d	生产代码: A ~ Z (I, O 除外)